

Разработанная треугольная диаграмма имеет следующие достоинства: позволяет сравнивать по глубине осадкообразования различные палеобассейны, а также отдельные этапы их развития; изучать фациальные ряды образования метаосадочных пород; выделять трансгрессивно-ретрессивные циклы разных рангов; подтверждает образование железистых кварцитов на наиболее глубоководной части фациального профиля седиментации, что может служить дополнительным признаком для выяснения условий их образования.

## ЛИТЕРАТУРА

1. Балашов Ю.А. Геохимия редкоземельных элементов. - М., 1976. -267 с.
2. Зеленская А.Н., Шатров В.А., Сиротин В.И. Палеофациальные условия образования сланцев курской серии КМА (по результатам изучения распределения REE) // Вестн. Воронеж. ун-та. Геология. -1999. -№ 7. -С. 39 – 44
3. Шатров В.А., Сиротин В.И., Войцеховский Г.В. Редкоземельные и малые элементы как индикаторы условий образования железистых кварцитов (на примере Лебединского месторождения КМА) коры // Докл. РАН. - 2002. -Т. 386, № 5. -С.668–671.
4. Сиротин В.И., Шатров В.А., Войцеховский Г.В. Редкие земли как индикаторы обстановок осадкообразования в раннем протерозое (на примере курской серии КМА) // Генетический формационный анализ осадочных комплексов фанерозоя и докембрия: Матер. 3-го Всеросс. литологического совещ. (Москва, 18 – 20 марта 2003 г.) – М., 2003. – С.254 – 256.
5. Холодов В.Н. Бутузова Г.Ю. Проблемы геохимии железа и фосфора в докембрии // Литология и полезные ископаемые. - 2001. -№4 .-С 339-352
6. Леоненко И.Н., Полящук В.Д., Зайцев Ю.С. Докембрин Воронежской антеклизы / Бюл МОИП. Отд геол. -1967. Т. 42, вып. 5 .-С 74 – 85.
7. Лебедев И.П., Полякова Г.Н., Покрякова М.В. и др. Развитие зон раннепротерозойского внутриконтинентального рифтогенеза Воронежского кристаллического массива // Проблемы геодинамики и минерагении Восточно-Европейской платформы: Матер. Междунар конфер. Т.1. - Воронеж, 2002. - С.150 – 151.
8. Железные руды КМА (Под ред. В.П.Орлова, И.А.Шевырева, Н.А.Соколова). -М.,2001. -616 с.
9. Геология, гидрогеология и железные руды бассейна Курской магнитной аномалии. Т. I, кн. I. -М., 1970. - 439 с.
10. Чернышов Н.М., Холин В.М., Исаахов В.М. Геодинамическое моделирование как метод расчленения и корреляции раннедокембринских стратифицированных образований (на примере курской и оскольской серий КМА) // Материалы III Всероссийского совещания «Общие вопросы расчленения докембра». - Апатиты, 2000. -С. 273 – 276.
11. Плаксенко Н.А. Главнейшие закономерности железорудного осадконакопления в докембре. -Воронеж. 1966. -264 с.
12. Сиротин В.И., Бугельский Ю.Ю., Новиков В.М., Служкин А.Д. Особенности изотопии серы, поведения лантаноидов и микроэлементов в пиритах и марказитах Воронежской антеклизы // Вестн. Воронеж. ун-та. Геология. --2000. -№ 5 (10). -С. 47 – 52.
13. Минерагения осадочных бассейнов континентов и периконтинентальных областей. – М., 1998. - 590 с.

УДК 551.762(67).671.54

## ВОЗРАСТ, СОСТАВ И СТРУКТУРНОЕ ПОЛОЖЕНИЕ ТАТАУРОВСКОЙ СВИТЫ (ЗАПАДНОЕ ЗАБАЙКАЛЬЕ)

В.С. Платов, О.Р. Миннина, А.А. Савченко, Л.Н. Неберикутина\*

ГФУП «Бурятгеоцентр», г. Улан-Удэ

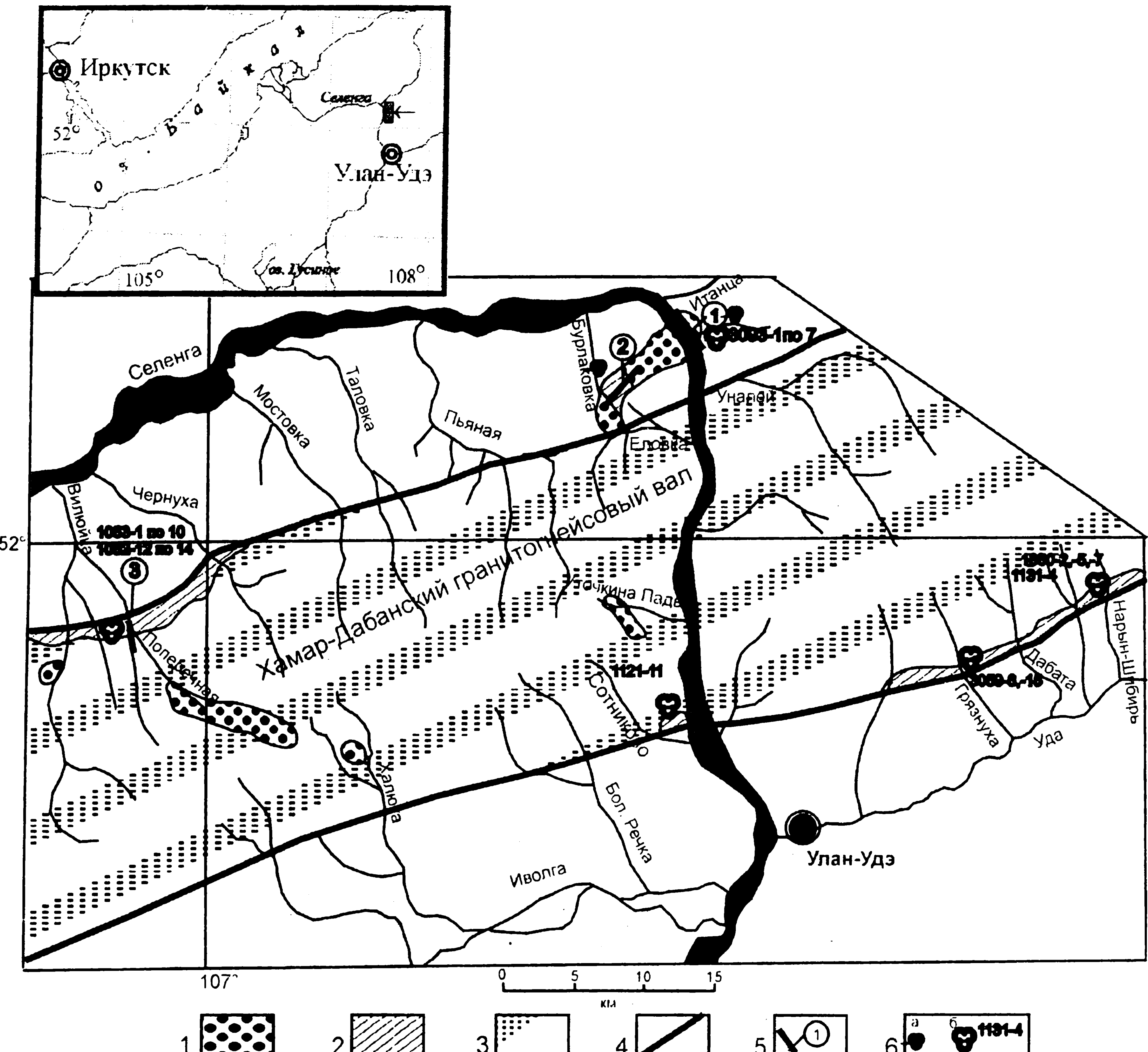
\*Воронежский государственный университет

В статье приведена литологическая характеристика, стратиграфическое и структурное положение татауровской свиты. Возраст татауровской свиты остро дискуссионен. Свита разными авторами рассматривалась в составе разновозрастных отложений начиная от верхнепротерозойских и до третичных. Новые палинологические материалы свидетельствуют о ее принадлежности к позднему палеозою. По литологии, характеру метаморфических преобразований и особенностям строения отложения свиты сопоставимы с позднепалеозойскими ( $C_2-P_1$ ) стратонами Западного Забайкалья.

### Введение

Татауровская свита распространена в бассейне нижнего течения р. Селенги. Стратотипом свиты служит обнажение по правом берегу последней, выше устья р. Итанцы (рис. 1, разрез 1). В качестве гипостратотипа, наращивающего стратотипический разрез, предложен разрез в верхнем течении руч. Бурлаковка (см. рис. 1, разрез 2). За пределами стратотипической местности (междуречье Поперечная –

Халюта) метаморфизованные конгломераты татауровской свиты были установлены Д.В. Ветровым (1958). В нижнем течении р. Курбы, восточнее рассматриваемой площади, в составе свиты по данным Ф.Г. Рейфа (1967) присутствуют мощные (до 250 м) горизонты кислых лав и туфов. Однако при составлении легенд Селенгинской серии листов масштаба 1:200000 В.В. Балхановым (1999) вулканогенные породы в составе свиты не рассматривались. При проведении ГДП-200 в пределах листов М-48-V, VI



**Рис. 1. Схема распространения пород татауровской свиты в нижнем течении р. Селенги:** 1-2 – татауровская свита: грубообломочная ассоциация (1), тонкообломочная ассоциация (2); 3 – гнейсы, гранитогнейсы позднего палеозоя; 4 – разрывные нарушения; 5 – геологические разрезы татауровской свиты и их номера; 6 – места отбора палинологических проб предшественниками (а), авторами (б) и их номера. На врезке стрелкой показано местоположение стратотипа татауровской свиты

[1] нами установлено более широкое распространение татауровской свиты (бассейны рр. Вилюйки и Чернухи, правобережье нижнего течения р. Уды, руч. Сотниково и Уточкина Падь), в состав которой включены вулканогенные образования.

В структурном отношении выходы татауровской свиты или обрамляют Хамар-Дабанский гранитогнейсовый вал, сложенный гнейсами и гранитогнейсами позднепалеозойского уланбургасского метаморфического комплекса, или слагают в его пределах останцы метаморфизованного субстрата.

#### Общая характеристика и описание разрезов

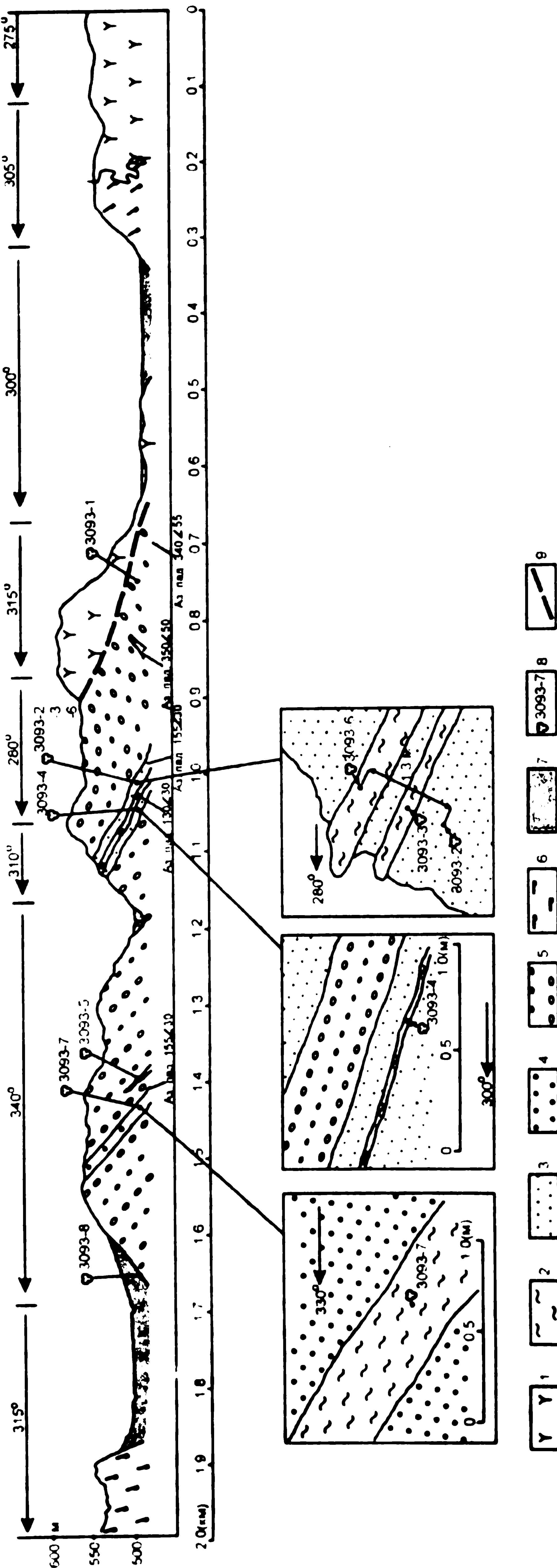
Свита сложена метаморфизованными конгломератами, гравелитами, песчаниками, алевролитами, риолитами и их туфами, филлитовидными и графитовыми сланцами.

Стратотипический разрез свиты (выше устья р. Итанцы) детально описан Л.И. Салопом [2]. В

обнажении, в высоких, иногда нависающих над водой, скалах на протяжении 1 км наблюдаются конгломераты татауровской свиты (рис. 2). Конгломераты слагают синклинальную структуру, которая срезается пологим разломом в юго-восточной части обнажения. Среди валунно-галечных конгломератов наблюдается несколько прослоев гравелитов, песчаников и алевролитов, мощностью в первые метры. Породы свиты динамометаморфизованы, в связи с чем определенную трудность представляет реконструкция первичного состава тонкообломочных пород и цемента конгломератов, который, по мнению Л.И. Салопа, имеет туфогенную природу.

В качестве гипостратотипического разреза нами рассматриваются отложения руч. Бурлаковка, изученные М.П. Михайловым (1971). В разрезе свиты здесь выделено три пачки.

Нижняя пачка сложена валунно-галечными неотсортированными конгломератами с рассланцо-



**Рис. 2. Стратотипический разрез татауровской свиты на правобережье р. Селенги:** 1 – витимжанский комплекс // фаза, среднеэзеринистые биотит-амфиболовые сиениты, 2-5 – татауровская свита: метаморфизованные алевролиты (2), песчаники (3), гравелиты (4), вулкано-гравелиты (5), 6 – штенингская свита: скелолит-пироксеновые породы, 7 – рыхлые четвертичные образования, 8 – места отбора палеонтологических проб и их номера; 9 – разрывные нарушения

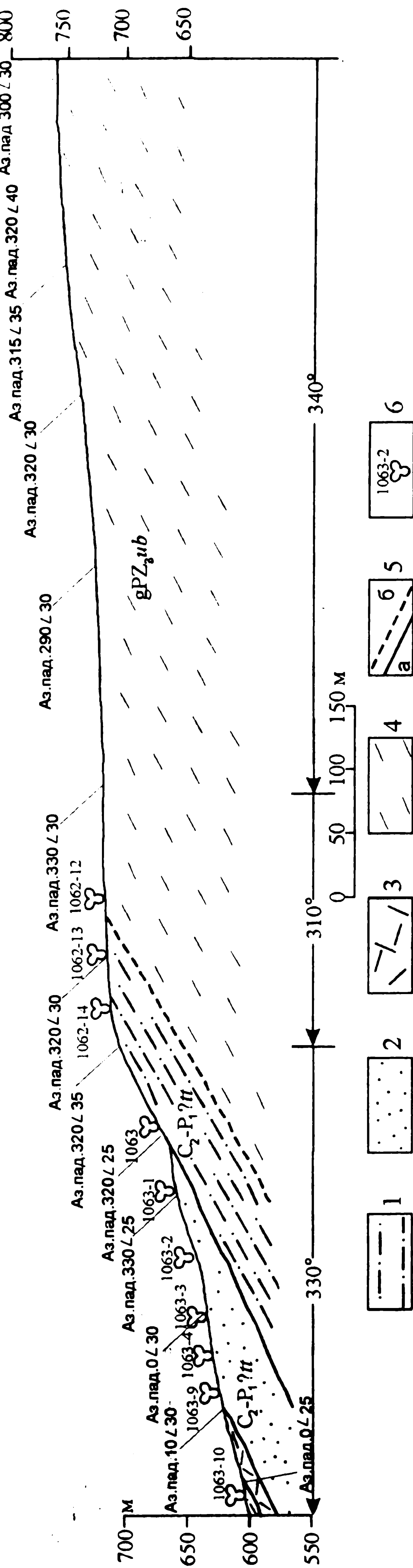


Рис. 3. Геологический разрез по хр. Тонкая Грива: 1-3 – образование татауровской свиты, представленные метаморфизованными алевролитами (1), песчаниками (2) и риолитами (3); 4 – мелкозернистые гнейсы уланбургасского метаморфического комплекса; 5 – геологические границы достоверные (а) и предполагаемые (б); места отбора палинологических проб и их номера

ванным песчанистым заполнителем. Отмечены редкие прослои песчаников мощностью до 2 м. Нижняя граница пачки не определена. Верхняя – проводится в основании горизонта филлитовидных сланцев средней пачки, согласно перекрывающих конгломераты. Мощность нижней пачки более 200 м.

Средняя пачка представлена переслаиванием филлитовидных сланцев, гравелитов, песчаников с прослойями графитовых сланцев. Видимая мощность пачки около 165 м.

Верхняя пачка сложена валунно-галечными конгломератами с редкими прослойями гравелитов, песчаников и филлитовидных сланцев. Наибольшая мощность отложений этой пачки установлена в стратотипе (правобережье р. Селенги) и составляет около 300 м.

Таким образом, в составе свиты выделяются два типа породных ассоциаций: 1) грубообломочная (метаконгломератовая) – нижняя и верхняя пачки; 2) тонкообломочная (метаалевролитовая, метапесчаниковая) – средняя пачка.

Кроме вышеуказанных мест, грубообломочная ассоциация распространена по водоразделу Поперечная-Халюта и в верховьях Уточкиной Пади. Метапороды тонкообломочной ассоциации, в составе которой присутствуют вулканогенные образования, нами впервые установлены в среднем течении рек Вилюйки и Чернухи, а также по правобережью нижнего течения р. Уды (см. рис. 1).

Ниже приведены описания разрезов тонкообломочной ассоциации.

Разрез по хр. Тонкая грива (см. рис. 1, разрез 3). Здесь в скальных обнажениях (рис. 3) вскрываются (снизу):

1. Метаалевролиты темно-серые тонкополосчатые сланцеватой текстуры..... 50 м
2. Метапесчаники серые, темно-серые от мелко- до крупнозернистых, массивные или неяснополосчатые с прослойями метаалевролитов..... 50 м
3. Метариолиты светло-серые сланцеватой текстуры..... 10 - 15 м
4. Метаалевролиты темно-серые тонкополосчатые..... 5 - 10 м

Породы залегают довольно полого ( $25-30^\circ$ ) с падением на север и северо-запад. Общая мощность вскрытой части разреза составляет около 120 м.

Аналогичный характер имеет разрез (см. рис. 1) тонкообломочной ассоциации на правобережье р. Уды в бассейне руч. Нарын-Шибирь (снизу):

1. Метапесчаники и метаалевролиты... более 200 м
2. Метариолиты и их туфы..... более 100 м

Породы наклонены также довольно полого ( $25-30^\circ$ ), но уже с падением на юг, юго-восток, согласно с общей структурой гранитогнейсового вала. Общая мощность свиты по этому разрезу составляет более 300 м.

### Породный состав и вторичные изменения

**Метаконгломераты** – породы серого цвета валунно-галечные, местами галечные. Обломочный

материал характеризуется плохой сортировкой по размерности, резко преобладает над цементом. Галька и валуны имеют преимущественно овальную и уплощенную форму, ориентированы длинной осью согласно сланцеватости, нередко наблюдаются и округлые формы. В зонах рассланцевания галечный материал развалиован, буддинирован, отмечается "хвостатая" галька, а также вдавливание одних галек в другие. Состав обломочного материала весьма разнообразен, но заметно преобладают галька и валуны гранитоидов, в значительном количестве отмечается мелкая галька эфузивов. Заполнитель конгломератов в процессе метаморфизма рассланцована и перекристаллизован в тонкозернистый кварц-полевошпат-слюдистый агрегат.

**Метагравититы** – серые грубозернистые породы сланцеватой текстуры, бластопсаммито-псефитовой структуры. Состоят они из обломочного материала разнообразного состава (65 – 75%) и цемента (25 – 35%), преобразованного в кварц-хлорит-серицитовый агрегат.

**Метапесчаники** – серые массивные и сланцеватые породы мелко-, средне- и крупнозернистого сложения, бластопсаммитовой структуры. Обломочный материал различного состава, плохой окатанности и сортировки, преобладает над цементом. Цементирующий материал перекристаллизован в кварц-хлорит-слюдистый агрегат.

**Метаалевролиты** – темно-серые, черные породы массивной или полосчатой текстуры, бластоалевритовой структуры.

**Филлитовидные сланцы** – темно-серые, почти черные породы, бластоалевритовой или микрогранолепидобластовой структуры, сланцеватой, полосчатой, линзовидно-полосчатой или плойчатой текстуры. Состоят из ориентированного тонкозернистого кварц-хлорит-слюдистого агрегата, в котором различаются обломки алевритовой размерности кварца и полевых шпатов.

**Графитовые сланцы** – темно-серые, черные сланцеватые, местами массивные породы, обладающие бластоалевропелитовой, микрогранолепидобластовой структурой. Состоят из скрытокристаллического темно-бурого, местами черного углистого вещества и криптозернистого графита (60 – 80%), а также мелкочешуйчатого слюдистого агрегата (20 – 40%). В породе содержится незначительная примесь алевритовых частиц (до 10%), представленных кварцем.

**Метариолиты** – светло-серые, серые массивные и рассланцованые породы микропорфировой структуры с микрофельзитовой или микролепидогранобластовой основной массой. Вкрашенники (1 – 5%), размером до 0,5 мм, представлены кварцем, калиевым полевым шпатом и плагиоклазом, обычно деформированы, разбиты на отдельные осколки, смешанные относительно друг друга.

В целом, для пород татауровской свиты характерен метаморфизм зеленосланцевой фации, причем интенсивность метаморфических преобра-

зований уменьшается по мере удаления от гранитогнейсового вала.

## Возраст свиты

Существуют весьма противоречивые мнения о возрастном положении татауровской свиты [3]. Так И.Д. Черский считал их третичными, В.А. Обручев вначале также относил их к третичной системе, а впоследствии – к верхнему протерозою. М.М. Тетяев сравнивал татауровские конгломераты с морскими лейасовыми отложениями Восточного Забайкалья. Л.И. Салоп считал эти образования нижнекембрийскими. А.М. Бильтаев относил их к верхнему палеозою – нижнему мезозою. В серийной легенде возраст свиты определен веном. М.П. Михайловым (1971) возраст свиты по комплексам микрофоссилий был определен как кембрийский. В 4 пробах (из 16) по руч. Бурлаковка были установлены акритархи *Lancunosglobulina multiformis*, *L. paula*, *L. latobrasa*, по мнению Э.А. Поставской, проводившей анализ, характерные для кембрийских отложений Восточного Забайкалья. На наш взгляд, материалы предшественников, определяющие возраст отложений татауровской свиты, являются не представительными. Во-первых в четырех пробах из двух разрезов было установлено всего два вида акритарх, во-вторых в решении V Всесоюзного коллоквиума по микрофоссилиям докембия (Ленинград, 1986) род *Lancunosglobulina* признан инвалидным, что привело к ошибкам при интерпретации результатов палинологического исследования.

Метаморфические преобразования делают сложным диагностику тонкообломочных пород свиты и поиски макроскопических органических остатков. В данной ситуации при изучении свиты и определении ее возраста нами составлялись детальные геологические разрезы с послойным отбором проб на палинологический анализ.

Отобраны пробы по основным разрезам свиты: стратотипу (правобережье р. Селенги, разрез 1), по хребту Тонкая грива (разрез 3), ручьям Нарын-Шибирь и Грязнуха.

По стратотипическому разрезу свиты на правобережье р. Селенги (см. рис. 2) из тонкообломочных пород было изучено 8 проб, в 7 из которых установлен представительный комплекс миоспор (табл. 1). Из 46 таксонов палинокомплекса, 6 – имеют широкий интервал распространения, 2 – встречаются в отложениях силура – девона, 1 – девона-карбона. 8 таксонов распространены в карбоне – перми, из них споры *Punctatisporites punctatus* Ibr., *Cyclogranisporites pressoides* Pot et Kremp, *Scabrosisporites scabrosiformis* Shw., *Gardenosporites farus* Krus. и пыльца *Florinites tubercosus* Sam. и *Striatodiplopinites* sp., появляясь в среднем карбоне проходят до нижней перми. 18 таксонов наиболее типичны для каменноугольных отложений, из них *Trachytriletes flavis* Isch., *T. obnubilis* Isch., *Lophotrilites microgranifer* (Ibr.) Isch., *Archaeozonotrilites curvatus*

Таблица 1

## Распространение миоспор в стратотипическом разрезе татауровской свиты

№ п/п	Номера проб	Палеозой							MZ-KZ					
		3093-1	3093-2	3093-3	3093-4	3093-5	3093-6	3093-7		Силур	Девон	Карбон	Пермь	
	Наименование таксонов											нижний	средний	верхний
1	<i>Calamospora minutissimus</i> (Naum.) Lub.	○	○	○	○	○	○							
2	<i>Stenozonotriletes conformis</i> Naum.	○												
3	<i>Stenozonotriletes pumilus</i> (Naum.) Isch.	○												
4	<i>Stenozonotriletes simplex</i> Naum.						○							
5	<i>Dictyotriletes</i> sp.			○										
6	<i>Hymenozonotriletes</i> sp.					○	○							
7	<i>Lophotriletes rugosus</i> Naum.			●										
8	<i>Stenozonotriletes laevigatus</i> Naum.		●			●	●							
9	<i>Jugisporites spinosus</i> Naum.	●		●	●									
10	<i>Lophotriletes verrucosus</i> (Jbr.) Isch.		●											
11	<i>Euryzonotriletes</i> sp.		●	●	●									
12	<i>Florinites</i> sp.	●		●	●									
13	<i>Striatodiplopinites</i> sp.	●												
14	<i>Brochotriletes heliantoides</i> Isch.					●								
15	<i>Trematozonotriletes</i> sp.					●								
16	<i>Euryzonotriletes multiplex</i> Isch.				●									
17	<i>Punctatisporites punctatus</i> Ibr.			●										
	<i>Cyclogranisporites pressoides</i> Pot et Kremp.													
19	<i>Scabrosisporites scabrosiformis</i> Shw.	●												
20	<i>Gardenosporites firus</i> Krus.				●									
21	<i>Florinites luberae</i> Samail.		●											
22	<i>Leiotriletes inermis</i> (Waltz) Isch.		●											
23	<i>Leiotriletes subintorsus</i> (Waltz) Isch.		●											
24	<i>Leiotriletes glaber</i> Isch.			●	●	●	●							
25	<i>Tuberculispora pacululus</i> Isch.				●	●	●	●						
26	<i>Trachytriletes controversus</i> Isch.				●									
27	<i>Trachytriletes variabilis</i> (Waltz) Isch.	●		●										
28	<i>Trachytriletes dentatus</i> (Waltz) Isch.						●	●						
29	<i>Convolutispora varicosa</i> Butt. et Will	●												
30	<i>Euryzonotriletes tersus</i> (Waltz) Eg.		●											
31	<i>Reticulatisporites facetus</i> Ibr.			●										
32	<i>Trachytriletes flampus</i> Isch.				●									
33	<i>Trachytriletes obnubilis</i> Isch.							●						
34	<i>Lophotriletes microgranifer</i> (Ibr) Isch.						●	●						
35	<i>Archaeozonotriletes curvatus</i> (Lub) Eg.	●	●	●										
36	<i>Hymenozonotriletes trigonus</i> (Waltz) Isch.						●							

(Lub.) Eg., *Hymenozonotriletes trigonus* (Waltz) Isch. характерны для среднего карбона [4].

По разрезу свиты ручьев Нарын-Шибирь и Грязнухи (табл. 2) из динамометаморфизованных

пород изучено шесть проб, содержащих богатый комплекс миоспор. Из 57 таксонов 9 – транзитные, 2 - встречаются в девоне, 3 - в девоне - нижнем карбоне, и 43 таксона (68%) распространены в камен-

Таблица 2

## Распространение миоспор в татауровской свите разрезов по ручьям Нарын-Шибирь, Грязуха

Номера проб	Складки																
	11211	11200	2	12001	13007	13298	13299	16	Складки	Диагональные складки	Складки с глыбами	Вертикальные складки	Складки с изогибами	Складки с изогибами и глыбами	Складки с изогибами и глыбами и вертикальными складками	Складки с изогибами и глыбами и горизонтальными складками	
Числовое обозначение геослоя																	
2	3	4	5	6	7	8	9	10	11	12	13	14	15	16	17	18	
<i>Leptotrites</i> sp.			0														
<i>Leptotrites rugosus</i> Naum	0	0	0	0	0												
<i>Trachytrites solitus</i> Naum	0																
<i>Stenozonotrites pumilus</i> (Waltz) Naum	0	0															
<i>S. conformis</i> Naum						0	0										
<i>Retusotrites</i> sp.			0														
<i>Hymenozonotrites</i> sp.			0	0													
<i>Lophozonotrites</i> sp.	0	0															
<i>Zonomonotrites</i> sp.	0																
<i>Archaeozonotrites rugosus</i> Naum	●																
<i>A. basilans</i> Naum	●																
<i>A. micromantestus</i> Naum						●											
<i>Lophotrites rugosus</i> Naum						●											
<i>Stenozonotrites laevigatus</i> Naum	●	●	●	●	●												
<i>Trematozonotrites</i> sp.	●																
<i>Tribozonotrites</i> sp.		●															
<i>Camarazonotrites</i> sp.	●				●												
<i>Cardaria</i> sp.						●	●										
<i>Florinites</i> sp.	●																
<i>Leptotrites subintortus</i> (Waltz) Isch	●	●															
<i>L. nemus</i> Isch	●			●	●	●											
<i>L. turgidus</i> (Waltz) Isch				●													
<i>Lycospora vetumus</i> Eg.						●											
<i>Lophotrites finitimus</i> Isch	●																
<i>L. flaccus</i> Isch						●											
<i>L. submarginalis</i> (Waltz) Naum						●											
<i>Trachytrites punctulatus</i> (Waltz) Isch						●											
<i>Acanthotrites spinosus</i> Naum			●														
<i>A. multisetus</i> (Lub) Kedo	●	●															
<i>A. pennatus</i> Isch						●											
<i>A. nordinatus</i> (Lub) Eg						●											
<i>Hymenozonotrites pusillus</i> (br) Isch	●				●	●	●										
<i>Azonomonotrites vulcans</i> (br) Lub	●				●	●	●										
<i>A. novucus</i> Lub						●											
<i>Trematozonotrites stenomarginatus</i> Isch et Kedo	●	●															
<i>T. variabilis</i> (Waltz) Isch								●									
<i>T. squamatus</i> (Waltz) Kedo et Isch								●									
<i>T. glabra</i> Kedo									●								
<i>Tribozonotrites pardus</i> Isch					●												
<i>Knoxsponites literatus</i> (Waltz) Pl	●	●	●	●	●	●	●	●	●	●	●	●	●	●	●	●	●
<i>Camarazonotrites fracta</i> (Schem) Byw						●											
<i>Pentrecoletes contortereticulatus</i> (Sag) Lub						●											
<i>Tribozonotrites incis-trilobatus</i> Naum						●											
<i>Lycospora granulata</i> nos	●																
<i>Leptotrites denticulus</i> Isch								●	●								
<i>L. flaccus</i> Isch								●	●								
<i>Lophotrites grandis</i> (br) Isch								●									
<i>Triguetrites novucus</i> Bhat										●							
<i>Callosporites rufus</i> Bull et Wl								●		●							
<i>Cyathosphaerites palaeolamellis</i> (Mar) Bull et Wl								●									
<i>Allosporites querickeri</i> (Mar) Pol et Temp									●								
<i>Allaspores remosus</i> Med								●									
<i>Euryzonotrites modicus</i> Isch								●									
<i>Vestigesporites pliciformis</i> Pet								●									
<i>Entasis glabra</i> (Lub) Isch								●	●	●							
<i>Cardaria convoluta</i> Lub									●								
<i>C. punctata</i> Lub								●									

Таблица 3

## Распространение миоспор в разрезе по хр. Тонкая Грива

№ н/н	Номера проб	Найменование таксонов											Девон					Карбон				MZ-KZ	
		1051-8	1062-12	1062-13	1062-14	1063	1063-1	1063-1A	1063-2	1063-9	1063-10	1121-11	силур	Нижний	средний	верхний	нижний	средний	верхний	нижний	средний	верхний	
		3	6	4	5	6	7	8	9	10	11	12	13	14	15	tr	fm	16	17	18	19	20	21
1	2																						
1	<i>Leiosphaeridia</i> sp.							●															
2	<i>Lophosphaeridia</i> sp.							●															
3	<i>Leiotriletes</i> sp.							0	0														
4	<i>Calamospora minutissima</i> (Naum.) Lub.							0															
5	<i>Leiotriletes laevis</i> Naum.							0															
6	<i>Lophotriletes</i> sp.							0															
7	<i>Trachytriletes solidus</i> Naum.						●		0	●	0	0											
8	<i>Dictyotriletes</i> sp.							0	0			0	0	0	0	0	0						
9	<i>Brochotriletes</i> sp.								0		●												
10	<i>Hymenozonotriletes</i> sp.	0					0	0			0	0	0	0	0	0	0						
11	<i>Lophozonotriletes</i> sp.	0							0														
12	<i>Stenozonotriletes conformis</i> Naum.								0	0													
13	<i>Ambisporites pumillus</i> (Waltz) Oschurk.								0	0	0	0											
14	<i>Zonomonoletes</i> sp.								0														
15	<i>Lycospora</i> sp.							●	●	●													
16	<i>Archaeozonotriletes</i> sp.								0														
17	<i>Acantotriletes spinosus</i> Naum.	●	●	●						●													
18	<i>Geminospora rugosa</i> (Naum.) Obuch.	●																					
19	<i>G.basilara</i> (Naum.) Obuch.						●																
20	<i>G.rugosa</i> (Naum.) Obuch.								●														
21	<i>Archaeozonotriletes parvibasilaris</i> Naum.							●	●														
22	<i>Geminospora compacta</i> (Naum ) Obuch.							●	●														
23	<i>Leiotriletes atavus</i> Naum.								●														
24	<i>Acantotriletes paucispinosus</i> Naum							●	●														
25	<i>Dictyotriletes devonicus</i> Naum.								●														
26	<i>Retusotriletes communis</i> Naum.								●	●	●												
27	<i>Geminospora notata</i> (Naum.) Obuch.								●														
28	<i>Archaeozonotriletes variabilis</i> Naum.								●	●													
29	<i>Reticulatisporites retiformis</i> (Naum.) Obuch.								●	●	●												
30	<i>Ambisporites definitus</i> (Naum ) Oschurk.								●														
31	<i>Stenozonotriletes extensus var major</i> Naum.									●													
32	<i>Leiotriletes inflatus</i> (Lub) Naum.						0				●												
33	<i>Hymenozonotriletes mancus</i> Naum.							●															
34	<i>Verrucosiporites grumosus</i> (Naum.) Sull								●														
35	<i>Lophotriletes paucus</i> Kedo									0													
36	<i>Acantotriletes variaculiatus</i> Kedo									●													
37	<i>Dictyotriletes aff. minor</i> Naum.									●													
38	<i>Archaeozonotriletes confusus</i> Naum.									●													
39	<i>Archaeozonotriletes aff. marmoratus</i> Kedo									●													
40	<i>Archaeozonotriletes tuberculatus var minor</i> Kedo									●													
41	<i>Archaeozonotriletes extensus</i> Naum.									●													
42	<i>Archaeozonotriletes pustulatus</i> Naum									●													
43	<i>Hymenozonotriletes aff. orbillatus</i> V.Umn.									●													
44	<i>Hymenozonotriletes aff. primitivus</i> Rasck.									●													
45	<i>Trachytriletes punctulatus</i> (Waltz) Isch.		●							●													
46	<i>Hymenozonotriletes suberosus</i> Kedo								●	●	●												

### **Таблица 3 (продолжение)**

## **Распространение миоспор в разрезе по хр. Тонкая Гриза**

ноугольных отложениях. Среди последних преобладают формы (22 таксона), распространенные в нижнем – среднем карбоне, а спор *Leiotriletes deltoides* Isch., *L. flaccus* Isch., *Lophotriletes granifer* (Ibr.) Isch., *Triquetrus novicus* Bhat., *Calisporites nux* Butt. Et Wil., *Cyaetosphaerites pallenikimilis* (Hor.) Butt et Wil., *Ahrensisporites querickei* (Hor.) Pot. Et Kremp, *Allisporites remosus* Med., *Euryzonotriletes modicus* Isch., *Vestigesporites pliciformis* Pet. и пыльца *Cordaitina covaluta* Lub., *C. punctata* Lub., *Entulissa glabra* (Lub.) Isch. наиболее характерны для среднекаменноугольных отложений [4]. Довольно высокий коэффициент сходства ( $K_s = 56\%$ ) этого палинокомплекса с комплексом миоспор стратотипического разреза татауровской свиты позволяет рассматривать их как единовременные образования [5].

По разрезу хр. Тонкая Грива (см. рис. 3) из алевролитов и песчаников свиты было отобрано 10 проб. В 7 из них (табл. 3) установлен представительный палинокомплекс (86 таксонов). Транзитные формы составляют 27% комплекса, а споры, типичные для различных отделов девона и нижнего карбона – 41%, и 32% (21 таксон) приходится на формы, распространенные в среднем и верхнем карбоне; из них споры *Lophotriletes verrucosus* (Jbr.) Isch., *L. deltoides* Isch., *L. parva* Kos., *Trachytriletes flavus* Naum., *Hymenozonotriletes trigonus* (Waltz) Isch., *Stenozonotriletes scrupeus* Isch., *S. exoletus* Isch., *Trematozonotriletes gibberosus* Isch., *T. variabilis* (Waltz) Isch. и пыльца *Protopicea fausta* (Medv.) Eg., *Protbolebachia aff. brevitissima* Eg., *Pseudolebachia deserta* (Isch.) Eg., *Entellisa glabra* (Lub.) Isch. типичны для среднего карбона [3]. Этот палинокомплекс по составу сопоставим с комплексом стратотипического разреза татауровской свиты ( $K_s = 56\%$ ).

Таким образом, в составе комплексов миоспор доминируют споры и пыльца среднего карбона и формы, появляющиеся в среднем и встречающиеся в верхнем карбоне – нижней перми (от 17 до 65%). Переотложенные микрофоссилии составляют от 8 до 41% палинокомплексов, набор их гетерохронен и представлен формами, встречающимися в девоне, среди которых доминируют характерные для среднего и верхнего его отделов и нижнего карбона.

Возраст татауровской свиты, на данном этапе исследований, определяется нами в интервале среднего карбона – ранней перми [5].

По литологическому составу, внешнему облику, характеру метаморфических преобразований татауровская свита вполне сопоставима с образова-

ниями гунзанской, катаевской и ортинской свит Западного Забайкалья [1].

Породы татауровской свиты, наряду с палеозойскими отложениями темникской свиты и урминской толщи, послужили субстратом для формирования в позднем палеозое Хамар-Дабанского гранитогнейсового вала. На современном эрозионном срезе выходы татауровской свиты сохранились только в межкупольных прогибах вала и на его крыльях (см. рис. 1). Граница между породами уланбургасского ультратраметаморфического комплекса и метапородами татауровской свиты имеет довольно постепенный характер. На крыльях вала в вулканогенно-терригенных образованиях татауровской свиты проявились, наряду с пластическими, хрупкие деформации, приведшие местами к образованию бластотектонитов [1].

Материалы по изменению возраста татауровской свиты апробированы на НТС ГУПР и ООС по РБ, РЭС ВостСибНИИГиМСа. Решением НРС ВСЕГЕИ возраст татауровской свиты принят как среднекаменноугольный – раннепермский.

## Выводы

1. В татауровской свите установлены две породные ассоциации – грубообломочная и тонкообломочная. В составе последней присутствуют вулканогенные образования.
2. Возраст татауровской свиты определяется в интервале средний карбон – ранняя пермь.
3. Метаморфизм и деформации пород татауровской свиты обусловлены формированием позднепалеозойского гранитогнейсового вала.

## ЛИТЕРАТУРА

1. Платов В.С. Государственная геологическая карта РФ масштаба 1:200 000. Лист М-48-VI (Улан-Удэ). Объяснительная записка (в печати).
2. Салоп Л.И. Геология Байкальской горной области. Т. 1. -М., 1964. -515 с.
3. Геология СССР. Т. XXXV. Бурятская АССР. Ч. 1. Геологическое описание (Под ред. А.В. Сидоренко). - М., 1964. - 628 с.
4. Практическая палиноСтратиграфия (Под ред. Л.А. Поповой, М.В. Ошурковой, Г.М. Романовской). - Л., 1990. - С. 15-20.
5. Методические аспекты палинологии (Под ред. И.И. Нестерова). -М., 1987. - 222 с.